

3
696

-99



ОБЪЕДИНЕННЫЙ ИНСТИТУТ ЯДЕРНЫХ ИССЛЕДОВАНИЙ
Лаборатория теоретической физики

Сянь Дин-чан, Ху Ши-кэ

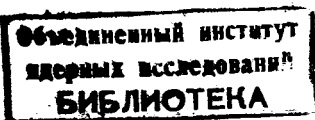
Д-696

ОБ ЭЛЕКТРОМАГНИТНОМ
ФОРМФАКТОРЕ π^0 МЕЗОНА
ЖЭТФ, 1961, т 41, б 2, с 600-602.

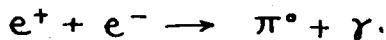
Сянь Дин-чан, Ху Ши-кэ

Д-696

ОБ ЭЛЕКТРОМАГНИТНОМ
ФОРМФАКТОРЕ π^0 МЕЗОНА



Можно надеяться, что эксперименты, использующие встречные электронно-позитронные пучки из ускорителя, станут возможными в близком будущем. Интересно заметить, что электромагнитный формфактор π^0 мезона может быть изменен в реакции:



/1/

Учитывая, что эффективный гамильтониан взаимодействия псевдоскалярного π^0 мезона с электромагнитными полями должен быть инвариантен при трансляциях и вращениях пространства, запишем его в виде:

$$H_i = \iiint d^4x d^4y d^4z \tilde{F}((x-z)^2, (y-z)^2, (x-y)^2) \epsilon_{\alpha\beta\rho\sigma} \frac{\partial A_\alpha(x)}{\partial x_\beta} \frac{\partial A_\rho(y)}{\partial y_\sigma} \phi_0(z), /2/$$

где ϕ_0 и A_α - поле псевдоскалярного π^0 мезона и электромагнитное поле, соответственно, $\epsilon_{\alpha\beta\rho\sigma}$ - антисимметричный единичный тензор четвертого ранга.

Если ограничиться наинизшим порядком теории возмущений для электромагнитного взаимодействия между электроном и позитроном, то фейнмановская диаграмма для процесса /1/ может быть представлена на рис. I.

Матричный элемент, соответствующий этой диаграмме, имеет вид:

$$\langle qk | S | p_e p_n \rangle = \frac{-e}{(2\pi)^2} \frac{1}{\sqrt{q_0 k_0}} \epsilon_{\mu\rho\sigma} \bar{U}(-\vec{p}_n) e_\rho (p_n + p_e)_\beta. /3/$$

$$Y_M U(\vec{p}_e) \cdot \frac{k_\sigma}{(p_e + p_n)^2} F((p_e + p_n)^2, 0, m_{\pi^0}^2),$$

где p_n , p_e , k и q - четырех-импульсы позитрона, электрона, фотона и π^0 мезона; e_ρ - вектор поляризации фотона; $F(k_1^2, k_2^2, k_3^2)$ - Фурье-образ функции \tilde{F} в /1/ в импульсном пространстве, являющейся, по определению, электромагнитным формфактором \tilde{f}_1 -мезона.

Полное сечение для процесса /1/ имеет вид:

$$\sigma(E) = \frac{e^2}{4\pi} \frac{1}{3} \frac{(1-x)^3(1+2y)}{(1+x)(1-4y)} F^2(-E^2, 0, m_{\pi^0}^2) /4/$$

где E - полная энергия в системе центра масс; $x = \frac{m_{\pi^0}^2}{E^2}$, $y = \frac{m_e^2}{E^2}$, m_{π^0} и m_e - массы π^0 мезона и электрона. Измерение $\sigma(E)$, как видно из /4/, даст сведения об электромагнитном формфакторе π^0 мезона.

Для того, чтобы оценить величину $\sigma(E)$, вместо $F^2(-E^2, 0, m_{\pi^0}^2)$, мы подставим в /4/ $F^2(0, 0, m_{\pi^0}^2)$, который связан с τ - временем жизни π^0 мезона соотношением:

$$F^2(0, 0, m_{\pi^0}^2) = \frac{8\pi}{m_{\pi^0}^3 \tau}. \quad /5/$$

Если мы берем $\tau = (2.3 \pm 0.8) \times 10^{-16}$ сек. /1/, тогда из /4/ имеем:

$$\sigma(E) = f(E) \sigma, \quad /6/$$

где $\sigma = (2.8 \pm 1.4) \times 10^{-35}$ см², $f(E)$ представлена на рис.2.

Интересно также заметить, что такой эксперимент дает некоторые сведения о вкладе промежуточного 3π состояния в формфактор π^0 мезона.

Используя типичную технику дисперсионных соотношений, легко показать /например, см. /2/, что

$$\begin{aligned} & \frac{1}{2\pi\sqrt{\pi}q_0} \epsilon_{\mu\nu\rho\sigma} \bar{v} \gamma_\mu u e_\rho k_\rho F(K^2, 0, m_{\pi^0}^2) = \\ & = e_\rho \bar{v} \gamma_\mu u \int d^4 z e^{i(K+k)^2 z} \langle q | T(J_\mu(\frac{z}{2}) J_\rho(-\frac{z}{2})) | 0 \rangle, \end{aligned} \quad /7/$$

где $J_\rho(\frac{z}{2})$ - ток сильно-взаимодействующих частиц. Дальше, для простоты, мы определим:

$$F(K^2, 0, m_{\pi^0}^2) \equiv F(\nu), \quad /8/$$

где $\nu = K^2$. Используя /7/, легко показать, что $F(\nu)$ является аналитической функцией на ν - плоскости с разрезом от $4m_{\pi^0}^2$ до ∞ . Тогда дисперсионное соотношение для $F(\nu)$ записывается:

$$F(\nu) = F(0) + \frac{\nu}{\pi} \int_{4m_{\pi^0}^2}^{\infty} \frac{\operatorname{Im} F(\nu')}{\nu'(\nu' - \nu)} d\nu', \quad /8/$$

где $\text{Im } F(\nu)$ определен следующим образом :

$$\frac{1}{2\pi\sqrt{\rho_0}} \epsilon_{\mu\nu\rho\sigma} \bar{v}_\mu u_\nu k_\rho k_\sigma \text{Im } F(k^2, 0, m_{\pi^0}^2) = \\ = (2\pi)^4 \bar{v}_\mu u_\nu \sum_n \langle q | J_\rho(0) | n \rangle \langle n | J_\mu(0) | 0 \rangle \delta^4(k - p_n),$$
/10/

где $n = 2\pi, 3\pi, 4\pi \dots$ Дальше мы ограничимся рассмотрением промежуточных состояний $n = 2\pi$ и 3π .

Вклад 2π промежуточного состояния можно вычислить, используя знания 1/ структуры нуклона /вершинной функции $\langle 2\pi | J_\mu(0) | 0 \rangle$ / и 2/ фоторождения пиона на нуклона /вершинной функции $\langle q | J_\rho(0) | 2\pi \rangle$. Тогда можно ожидать, что вычитая из $F(\nu)$ вклад 2π промежуточного, можно получить оценку вклада 3π промежуточного состояния. Поскольку задачки 1. и 2. пока не решены с достаточной точностью, мы этого сделать не можем и посмотрим только какие выводы можно сделать из измерений $F(\nu)$ при таком положении.

Из /9/ сразу видно, что для малых ν ($\nu \ll 4m_{\pi^0}^2$) :

$$F(\nu) \sim F(0) + a\nu,$$
/11/

где a - некоторая постоянная. Для больших ν ($\nu < 4m_{\pi^0}^2$) если вклады 2π и 3π промежуточных состояний оба резонансные и имеют примерно одинаковые резонансные энергии, то:

$$F(\nu) \sim F(0) + \frac{b\nu}{\nu_0 - \nu},$$
/12/

где b постоянная, а ν_0 квадрат резонансной энергии 2π промежуточного состояния. Если эксперимент покажет, что формфактор J^μ мезона имеет вид /12/, тогда это будет означать, что либо 3π промежуточное состояние дает несущественный вклад в формфактор, либо оно важно, однако, его резонансная энергия примерно равна резонансной энергии 2π состояния. Наоборот, если эксперимент покажет, что $F(\nu)$ сильно отличен от вида /12/, то это будет означать, что 3π промежуточное состояние дает важный вклад и либо не имеет резонансного характера, либо имеет, но с резонансной энергией, дальней от ν_0 .

Авторы благодарят проф. М.А. Маркова, который обратил их внимание на этот вопрос, а также Чжоу Гуан-чжао и участников семинара проф. Маркова М.А. за обсуждение.

Литература

1. Glaser. Proceeding of the 1960 International Conference on High Energy Physics at Rochester. P-30.
2. Berman S.M. and Geffen D.A. Nuovo Cimento, 18, 1192 (1960).

Рукопись поступила в издательский
отдел 15 марта 1961 г.

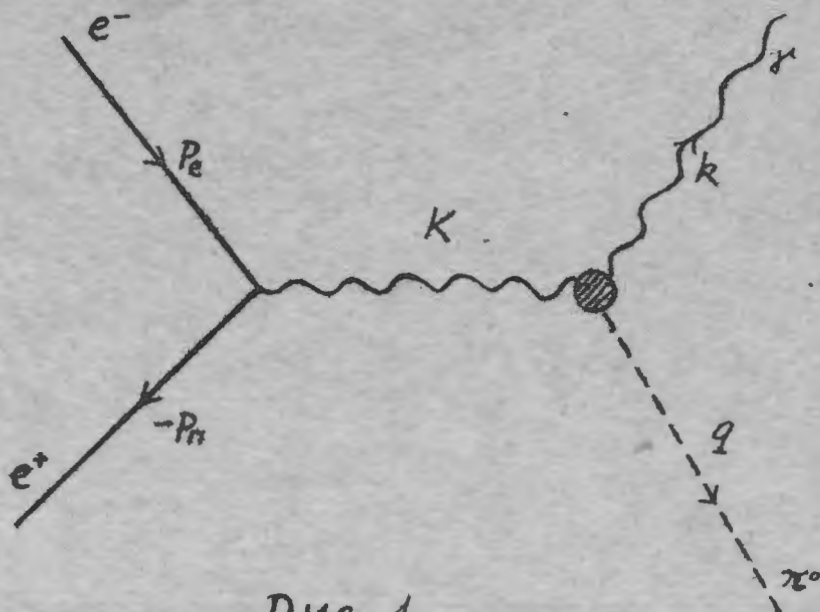


Рис. 1

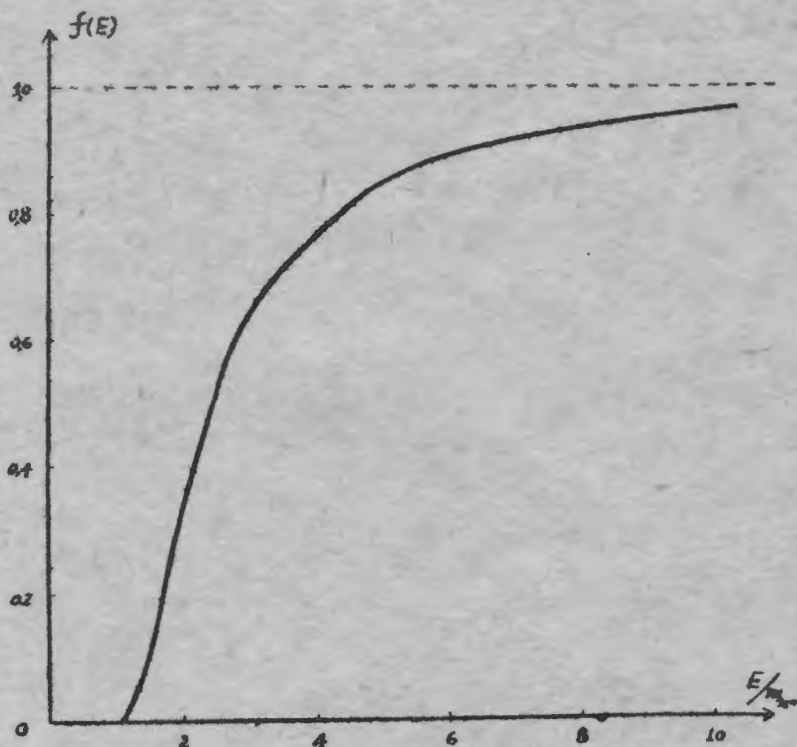


Рис. 2

Кривая Зависимости функции $f(E)$ от
Энергии электронно — позитронных пар.